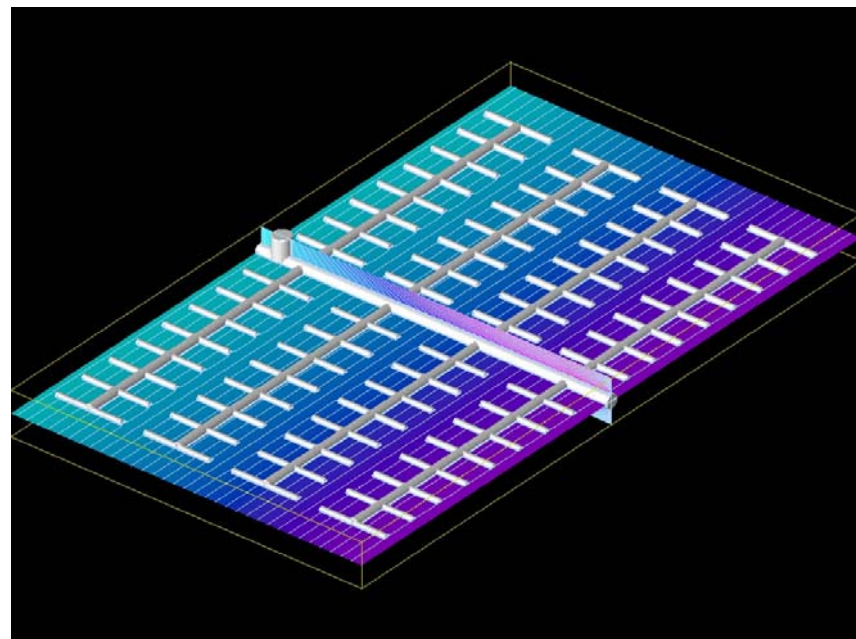


Freefem++ et l'Hyperbolique

Olivier Pironneau
LJLL-UPMC

Historique

- 1985: MacFEM – PCFEM
- 1990: Interpreteur de formule (+ D. Bernardi) freefem
- 1995: freefem+ (+ Hecht)
- 2000: freefem++ (Hecht tout seul)
- 2000: freefem3D (DelPino, Havé , Pironneau,)
- 2005: une nouvelle documentation
- ff3D:
 - Input via POVRay (SGS et $\text{in}(x,y,z)$)
 - Domaines fictifs + maillage auto par marching cube
 - Solveurs itératifs parallèles préconditionnés multigrid
 - Visualisation par medit (P. Fray)

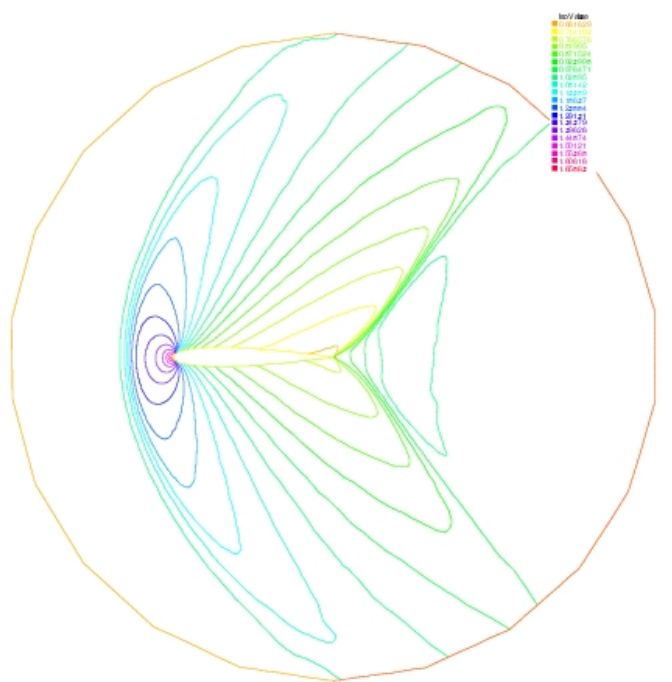


Le décentrage freefem par défaut

- Freefem= solveur elliptique
+ Caractéristique – Galerkin:

$$(\partial_t A + u \nabla A) |_x^{m+1/2} \simeq \frac{1}{\delta t} [A^{m+1}(x) - A^m(x - u(x)^{m+1/2} \delta t)]$$

`= (A - convect(A,[u1,u2],dt))/dt`



In-flow 3m/s

Air froid (25C)

SUPG-Least Square Galerkin

$$\partial_t v + L(v) = 0 \Rightarrow \partial_t v + L(v) - \alpha L(\partial_t v + L(v))$$

- ```

• border a(t=0, 2*pi) { x = cos(t); y = sin(t); };
• mesh th = buildmesh(a(70));
• fespace Vh(th,P2);

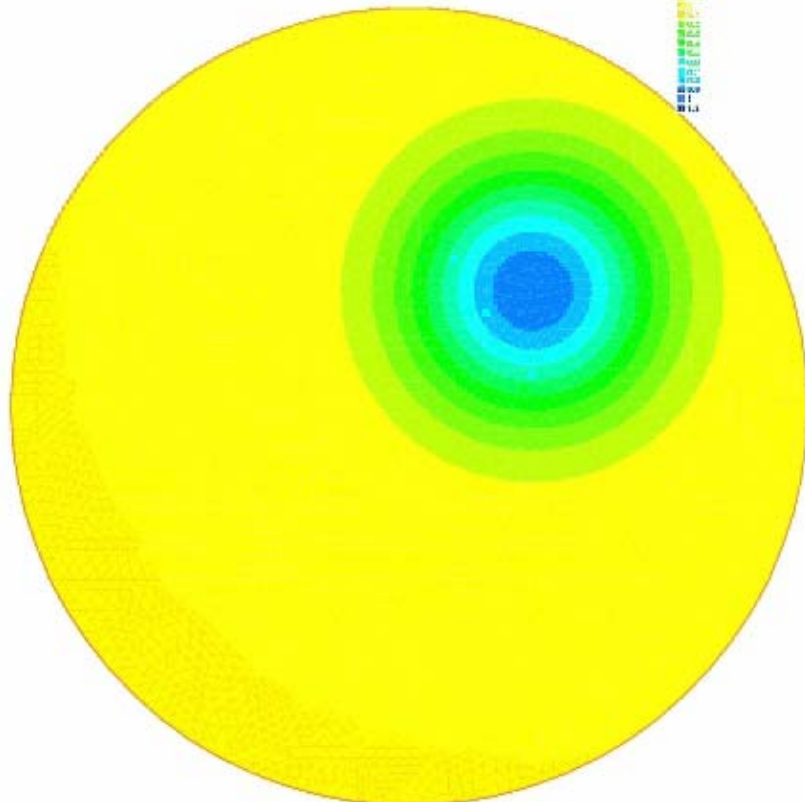
• Vh v,vh,u1 = y, u2 = -x, vo = exp(-10*((x-0.3)^2 +(y-0.3)^2));
• real t, dt = 0.1, tmax=3.14, mass0=int2d(th)(vo),alpha=0.1;

• problem aa(v,vh) = int2d(th)((vh+ alpha*(u1*dx(vh)+u2*dy(vh)))
 *(v/dt+u1*dx(v)+u2*dy(v)))
 int2d(th)((vo/dt)*(vh+alpha*(u1*dx(vh)+u2*dy(vh))));

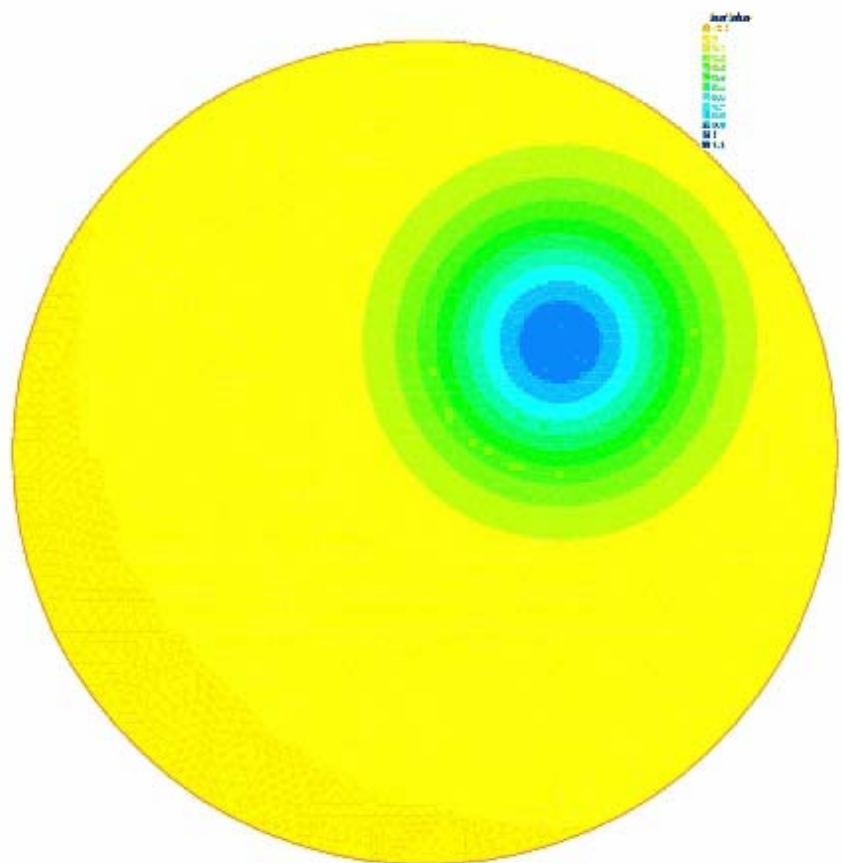
• for (t=0; t< tmax ; t+=dt)
• { aa; vo=v; plot(v,fill=0,wait=0);
 cout<<"mass=" <<int2d(th)(v)/mass0-1<<endl;
• };
```

# Résultats / Comparaison CG

SUPG Max=0.82



Caractéristique-Galerkin P2 max=0.9

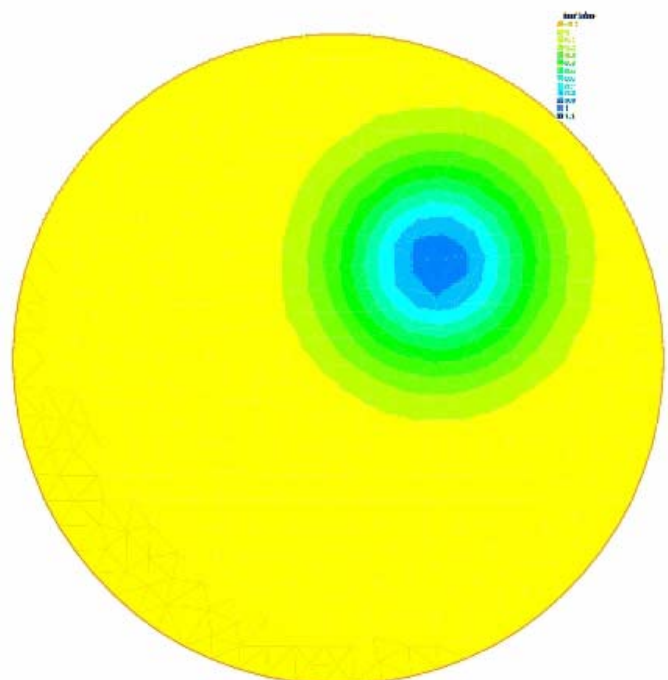


# Eléments Finis Discontinus (Piperno et al)

```
fespace Vh(th,P1dc); Vh v,vh;
varf A(v,vh) = int2d(th)(v*vh/dt/2);
varf B(vh,w) =intalledges(th)(vh*mean(w)*(N.x*u1+N.y*u2))
 -int2d(th)(w*(u1*dx(vh)+u2*dy(vh)));
[N.x,N.y]=vecteur normal Mean(w)=(v+ + v-)/2
```

$$\int_T \frac{1}{2\delta t} (v^{m+1} - v^{m-1}) w$$

$$= \int_T u \nabla w) v^m - \int_{\partial T} v^m w(u.n)$$



# Galerkin - Discontinu

```
• border a(t=0, 2*pi) { x = cos(t); y = sin(t); } ;
• mesh th = buildmesh(a(70));
• fespace Vh(th,P1dc);
• Vh vh,vo,u1 = y, u2 = -x, v = exp(-10*((x-0.3)^2 +(y-0.3)^2));
• real dt = 0.03,t=0, tmax=3.14, al=0.5, alp=200;
• macro n(u) (N.x*u1+N.y*u2)//
•
• problem A(v,vh) = int2d(th)(v*vh/dt-v*(u1*dx(vh)+u2*dy(vh)))
• + intalledges(th)(vh*(mean(v)*n(u)+alp*jump(v)*abs(n(u))))
• + int1d(th,1)((n(u)>0)*n(u)*v*vh) - int2d(th)(vo*vh/dt);
•
• problem Adual(v,vh) = int2d(th)((v/dt+(u1*dx(v)+u2*dy(v)))*vh)
• + intalledges(th)((1-nTonEdge)*vh*(abs(n(u))-n(u))/2*jump(v))
• - int1d(th,1)((n(u)<0)*abs(n(u))*v*vh) - int2d(th)(vo*vh/dt);
•
• for (t=0; t< tmax ; t+=dt) {vo=v; Adual; };
```

**nTonEdge**=combien de triangle s'appuie sur l'arete.

[Go](#)

$$\int_{\Omega} (\partial_t v + u \nabla v) w - \sum \int_{\partial T - \Gamma} u \cdot n^- [v] w = 0$$

# DG Despres-Kamga

```

• border aa(t=0, 2*pi){ x = cos(t); y = sin(t); }; mesh th = buildmesh
 (aa(70));

• fespace Vh(th,P1dc);
• Vh vh,vo,u1 = y, u2 = -x, v = exp(-10*((x-0.3)^2 +(y-0.3)^2));
• real K1=0.04, K2=0.02, K12=-0.01, K21=-0.0, dt = 0.05,t=0, tmax=3.14, a=1;
• macro n(u) (N.x*u1+N.y*u2) //

• macro Kdn(u) (N.x* (K1* dx(u)+K12* dy(u)) + N.y*(K2* dy(u)+ K21* dx(u))) //
• macro e(v) (v+jump(v)) //
• macro KeD(u)(N.x*(K1* e(dx(u))+K12*e(dy(u)))+ N.y*(K2* e(dy(u))+ K21* e(dx(u)))) //
//

• problem A(v,vh) = int2d(th)(v*vh/dt-v*(u1*dx(vh)+u2*dy(vh))
 +2*(K1*dx(v)* dx(vh)+ K2*dy(v)* dy(vh) + K12*dy(v)* dy(vh)+ K21*dy(v)* dy(vh)))
• + intalledges(th)((a*v-Kdn(v))*(a*vh-Kdn(vh))-
(a*e(v)+KeD(v))*(a*vh+Kdn(vh)))/a/2)
• + intalledges(th)(n(u)*vh*(vo*(n(u)>0) + e(vo)*(n(u)<0))) - int2d(th)(vo*vh/dt);

• for (t=0; t< tmax ; t+=dt){vo=v; A;}

```

$$\begin{aligned}
& \int_{\Omega} (w \partial_t v - (u \nabla w)v + 2(K \nabla v) \nabla w) + \int_{u \cdot n > 0} u \cdot n w v + \int_{u \cdot n < 0} u \cdot n w v^+ \\
& + \int_{\partial T} \frac{1}{2a} (av - K \nabla v \cdot n)(aw - K \nabla w \cdot n) - (av^+ + K \nabla v^+ \cdot n)(aw + K \nabla w \cdot n) = 0
\end{aligned}$$

# Résultats sur le cas Couplex

Despres-Kamga DG



Characteristics-Galerkin



Concentration d'Iode 129 après la rupture des conteneurs dans le site de Bure

# La méthode PSI (Deconinck-Struijs)

## Positive Streamwise Implicit (cf Perthame)

Schéma explicite nonlinéaire!, Programmé dans freefem par load module

- **load** "mat\_psi"
- **border** a(t=0, 2\*pi){ x = cos(t); y = sin(t); }
- **mesh** th = **buildmesh**(a(100));
- **fespace** Vh(th,P1);
- Vh vh,vo,u1=y, u2=-x, v=exp(-10\*((x-0.3)^2+(y-0.3)^2)), rhs=0;
- **real** dt = 0.05,t=0, tmax=3.14;
- **problem** A(v,vh) = **int2d**(th,qft=qf1pTlump)(v\*vh/dt) -**int2d**(th,qft=qf1pTlump)(vo\*vh/dt) + rhs[];
- **for** ( t=0; t< dt+0.001 ; t+=dt) {  
    vo=v;  
    **matrix** B;  
    **MatUpWind0**(B,th,vo,[u1,u2]);  
    rhs[] = B\* vo[] ;  
    A;  
};

# mat\_psi.cpp

```
• #include "RNM.hpp"
• .
• .
• class MatrixUpWind0 : public E_F0 { public: typedef Matrice_Creuse<R> * Result;
• MatrixUpWind0(const basicAC_F0 & args){. . .}
• static ArrayOfaType typeargs() { return...}
• .
• .
• };
•
• int gladys(double q[3][2], double u[2],double c[3], double a[3][3], double area) //PSI Deconninck
• {
• double dw[3][2]; // basis function gradients times area
• double ua[2], kk[3], beta[3]; // to define a[][][]
• .
• .
• }
•
• AnyType MatrixUpWind0::operator()(Stack stack) const
• {
• Matrice_Creuse<R> * sparce_mat =GetAny<Matrice_Creuse<R>*>((*emat)(stack));
• .
• .
• if (gladys(q,u,c,a,K.area))
• { for (int i=0;i<3;i++)
• for (int j=0;j<3;j++)
• if (fabs(a[i][j]) >= 1e-30) Aij[make_pair(ii[i],ii[j])]+=a[i][j];
• }
• .
• .
• return sparce_mat;
• }
•
• class Init { public: Init();};
• Init init;
• Init::Init(){ cout << " load: init Mat Chacon " << endl;
• Global.Add("MatUpWind0","(", new OneOperatorCode<MatrixUpWind0 >());
• }
```

# Creation de mat\_psi.dll

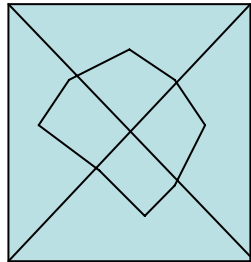
```
#!/bin/sh
Create a loadable object from a C++ function
defined in a .cpp file
$Id: load.link,v 1.12 2005/07/12 09:22:20 hecht
Exp $
do="yes"
if ["$1" = "-n"]; then
 shift
 do="no"
fi
if ["$1" = "-win32"]; then
 shift
 uu="WIN32"
else
 uu=`uname -s`
fi
if ["$1" = "-l"]; then
 INC=$2; shift;shift;
fi
if ["$1" = "-l"]; then
 LIBS=$2; shift;shift;
fi
Default compiler
if ["$CXX" = ""];
then
 CXX=g++
fi
FFsource=..INC="-Iinclude $INC"
SUF=so
if [-f "$1.cpp"] ; then
 case "$uu" in
 Darwin)
 export MACOSX_DEPLOYMENT_TARGET=10.3
 SHARED="-bundle -undefined dynamic_lookup" ;;
 CYGWIN*|FreeBSD)
 SHARED="-shared" ;;
 # 64 bit Linux needs -fPIC (ALH)
 Linux)
 FLAGS='-fPIC'
 SHARED="-shared" ;;

 WIN32)
 echo " window "
 SHARED="-v -shared --unresolved-symbols=ignore-all"
 FLAGS=' -mno-cygwin '
 LIBS="libff0.dll libff1.dll libff2.dll $LIBS"
 SUF=dll;;
 *)
 echo "sorry unknown architecture "`uname`"
 exit 1
 esac
 FLAGS="$FLAGS -g"
 echo $CXX -c $FLAGS $INC $PIC $1.cpp
 test $do = yes &&$CXX -c $INC $FLAGS $PIC $1.cpp
 echo $CXX $SHARED $FLAGS $1.o -o $1.$SUF $LIBS
 test $do = yes &&$CXX $SHARED $FLAGS $1.o -o $1.$SUF $LIBS
fi
```

Go

# Méthodes de Volumes Finis: ex Dervieux et al

- Un volume  $\sigma$  est associé à chaque sommet



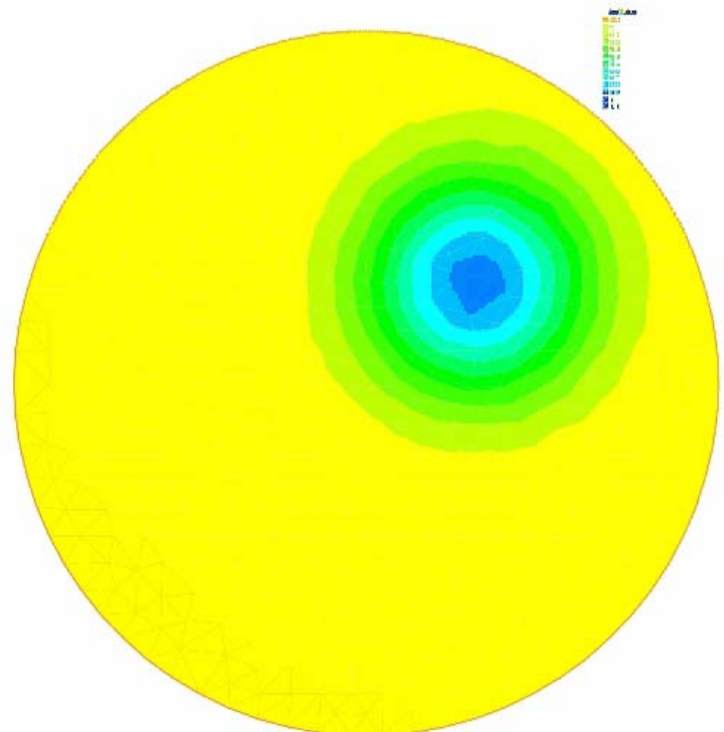
$$\partial_t v + \nabla \cdot F(v) = 0 \Rightarrow \int_{\sigma} \partial_t v + \int_{\partial\sigma} F(v) \cdot n = 0$$

-L'assemblage triangle/triangle est possible

-La première intégrale vaut  $1/3$  de la même sur les triangles

-Il faut écrire un load module pour les intégrales de bords.

Max=0.43 (très diffusif)



# Problemes Vectoriels

# Perspectives

- Tout y est mais peut être faudrait il trouver un formalisme pour intégrer automatiquement certain de ces schémas (comme pour CG)
- Faire les cas tests classiques (marche montante etc)
- Sensitivity, optimisation?